L'IMAGERIE EOS Principes, applications et place dans la pratique clinique



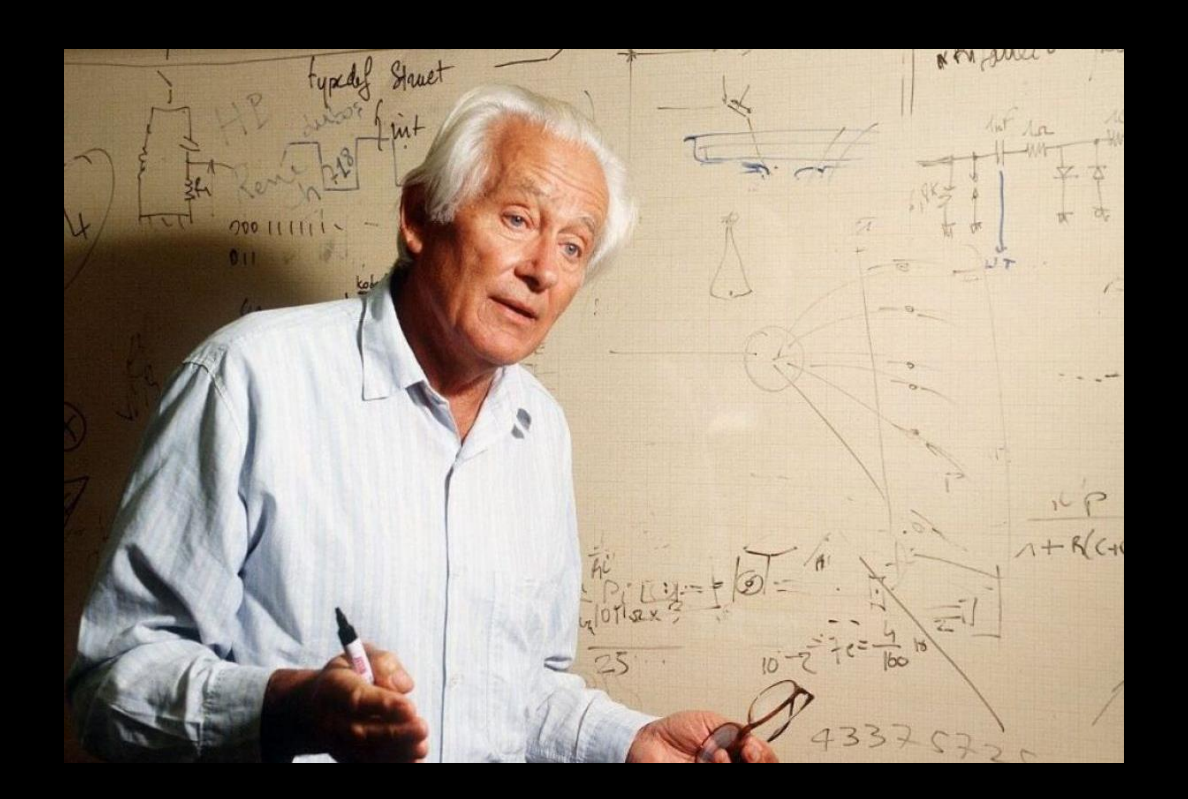




Aucun conflit d'intérêt

HISTORIQUE

- Issue des travaux de Georges Charpak (Nobel 1992)
- Balayage vertical du faisceau de rayon X + détecteur gazeux
- Acquisition de deux images orthogonales simultanées



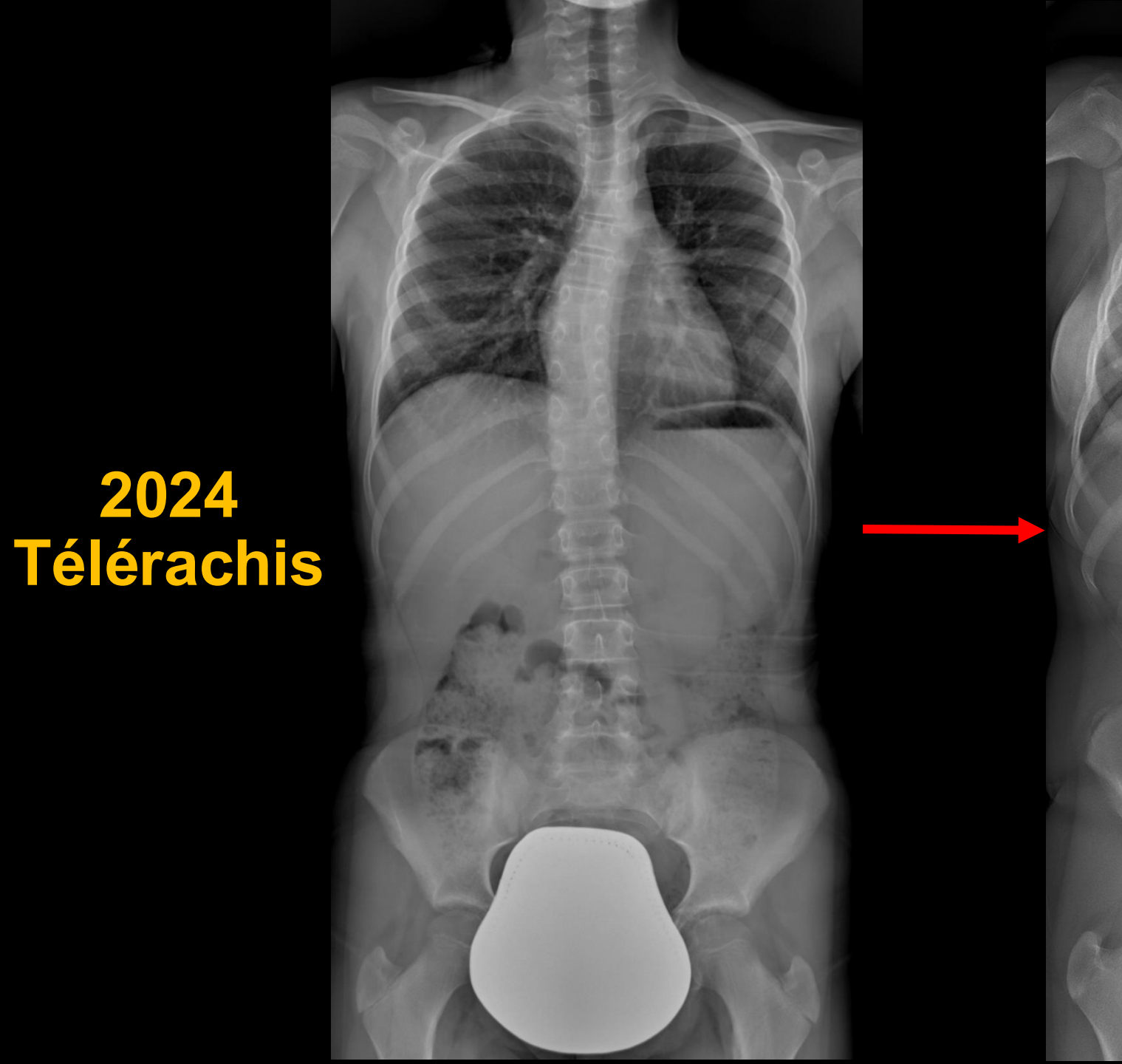
DÉROULEMENT

- Examen en position debout = STATIQUE RACHIDIENNE
- Position standardisée et reproductible
- Immobilité +++ pour éviter les artefacts de distorsion
- Durée de l'acquisition: de 10 à 20 secondes selon taille
- Rachis et bassin / membres inférieurs / les 2

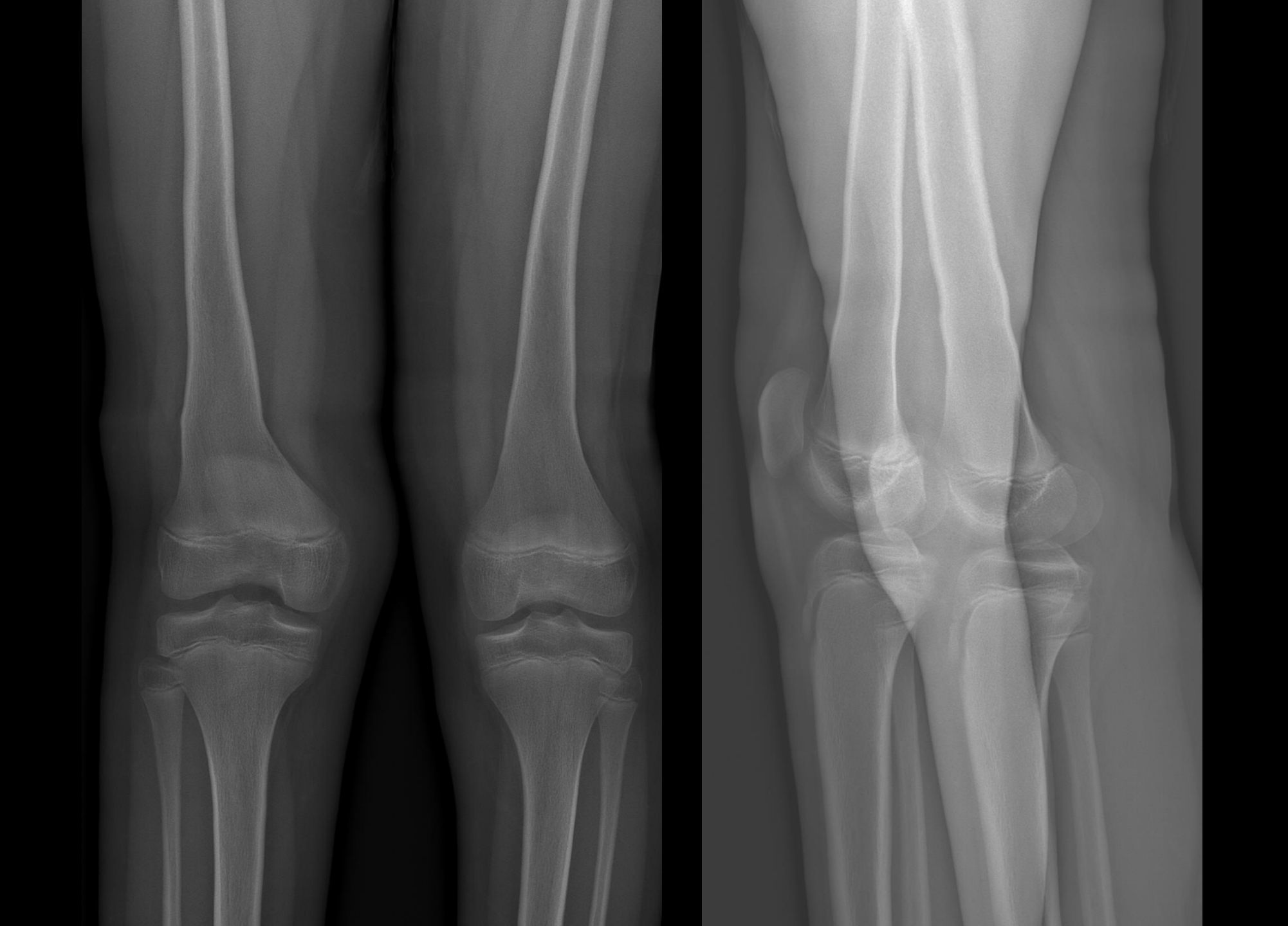
Dosimétrie:

- 6 à 9 fois inférieure à des radiographies équivalentes
- 40 fois plus faibles qu'un scanner





2025 EOS (Dose/6)



POST-TRAITEMENT

- Faisceaux orthogonaux stricts = limite la distorsion
- Mesures 2D exploitables directement
- Avant: manuellement!
- Aujourd'hui: utilisation de l'IA pour segmentation automatique (risque d'erreur mais faible, rester vigilants)
- Mesures 3D: possibles sous certaines conditions, assez fastidieux, cas particuliers, pas toujours possible selon les outils (mais probables améliorations à court terme)

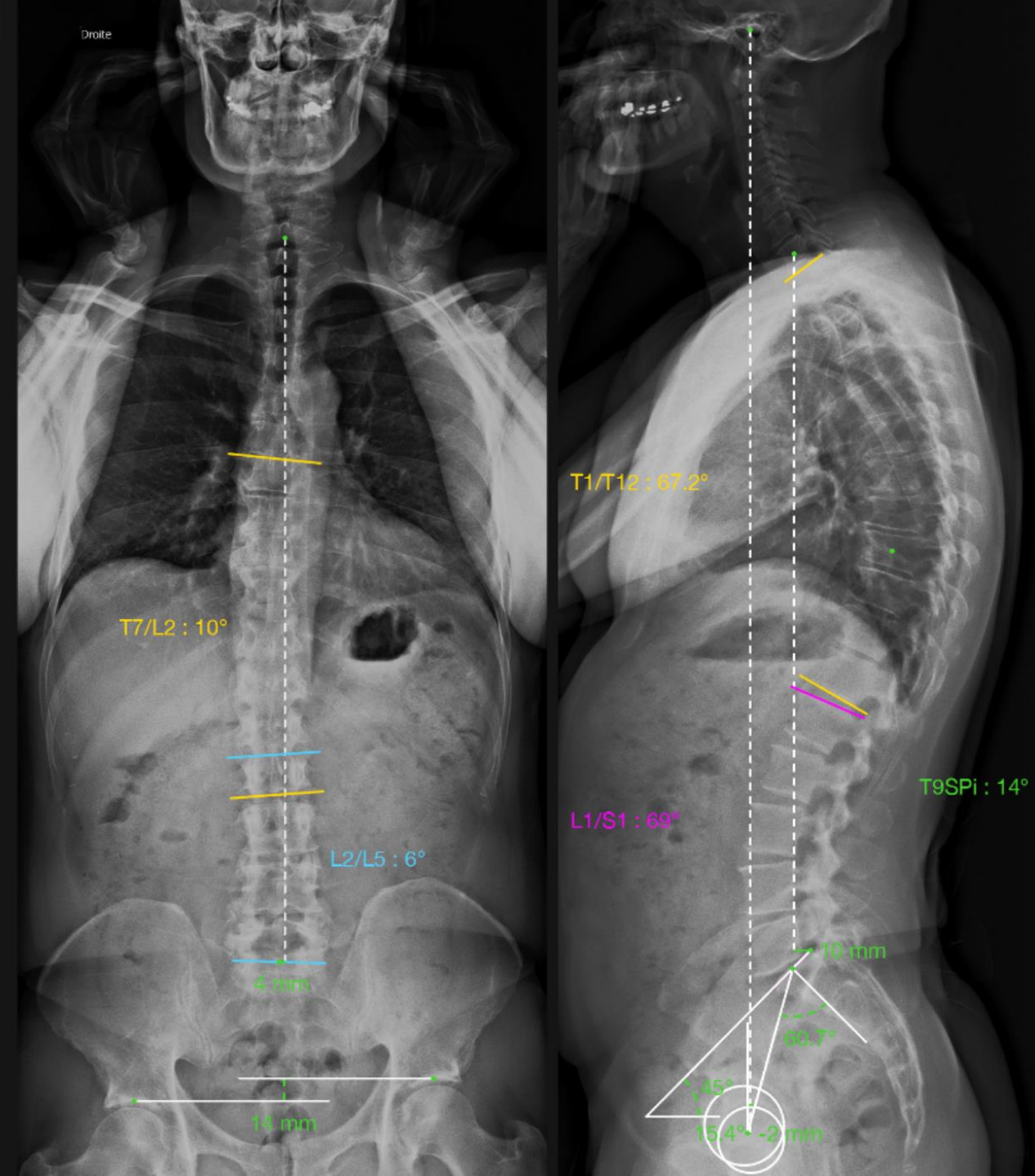
Co	ronal	Référence	
н	Angle de Cobb T7/L2 ^[5]	10°	< 10°
A U	Angle de Cobb L2/L5 ^[5]	6°	< 10°
Ť	Balance coronale [1]	4 mm	[-20 mm ; 20 mm]
B A S	Bascule pelvienne (toit de cotyle) [6]	14 mm	≤ 10 mm

Sagittal

	Cyphose T1/T12	67.2°	
н	Lordose L1/S1	69°	
A U	Axe vertical sagittal	10 mm	
T	Gîte T9	14°	
	Incidence pelvienne	60.7°	
В	Axe de gravité	-2 mm	
A	Pente sacrée	45°	
S	Version pelvienne	15.4°	

Les valeurs mises en évidence en orange sont hors de la plage de référence prédéfinie.





INTERPRÉTATION

- Normes rappelées sur les rapports (notamment si utilisation de l'IA)
- Livret résumé: synthèse
- ET interprétation du radiologue sur compte rendu dédié (à lire ! Anomalies osseuses, éléments non mentionnés dans le livret ou non repérés par l'IA)
- Toujours analyser
 - Statique pelvi-rachidienne (équilibre rachis + bassin) = biomécanique globale
 - Trame osseuse (pas de détection des anomalies par l'IA!): tumeur, lyse isthmique...
 - Recherche de malformation ou de facteur favorisant la déformation

Analyse coronale 2D

Rachis

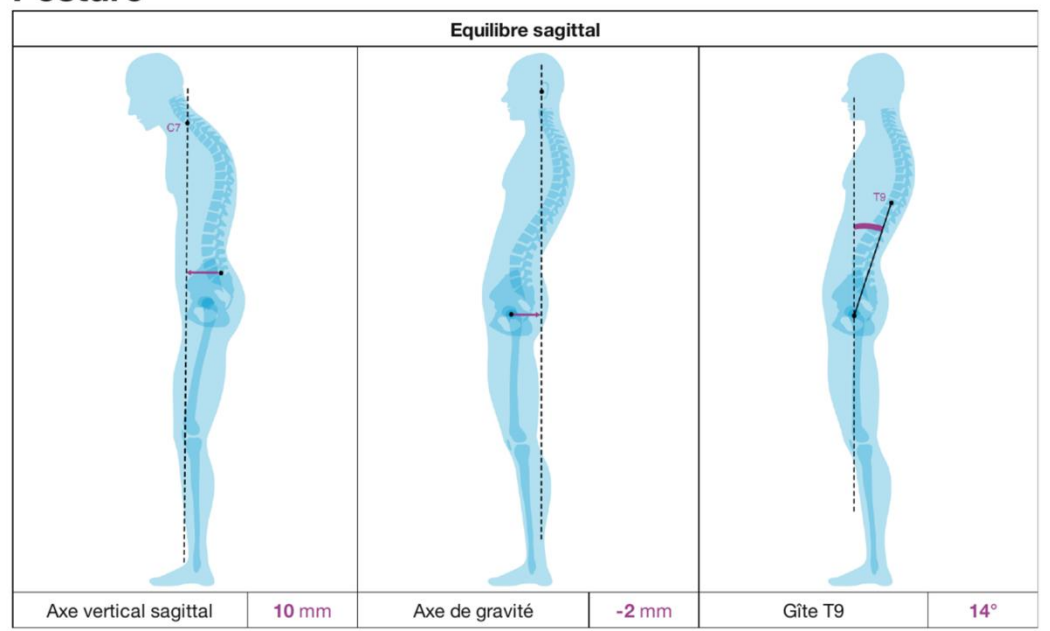
	Equ	ilibre coronal et scoli	ose	
Balance coronale	4 mm		Paragette at	Particular Property of the Particular Property o
Angle de Cobb T7/L2	10°	Passass.	17	12
Angle de Cobb L2/L5	6°	Ş		LS

Bassin

		Paramètres pelviens		
Bascule pelvienne (crêtes iliaques)	13 mm		Pau D	
Bascule pelvienne (ischions)	6 mm			The state of the s
Bascule pelvienne (toit de cotyle)	14 mm	0	0	20

Analyse sagittale 2D

Posture



Rachis

Cyphose / Lordose						
Cyphose T1/T12	67.2°	TI T				
Lordose L1/S1	69°	T12				

Bassin

		Paramètres pelviens	
Pente sacrée	45°		
Incidence pelvienne	60.7°		
Version pelvienne	15.4°	8	

Références

10.0.0.000									
Valeurs de référence	Mesuré	Théorique							
Incidence pelvienne ¹	60.7°	_							
incidence pervienne	00.7		21.0	31.5	42.0	52.5	63.0	73.5	84.0
			Poste	érieur au s	acrum		Antérieur au sacrum		
Axe vertical sagittal	10 mm	-							
			-135	-90	-45	0.0	45	90	135
	69° 72°		Нуро	lordose				Hyperlo	rdose
Lordose L1/S1 ²		72°							
			-30	-20	-10	0.0	10	20	30
	² 15.4° 15°	15°	Rétro	version				Antéve	ersion
Version pelvienne ²									
version permanne		20	12	5	0.0	-5	-12	-20	

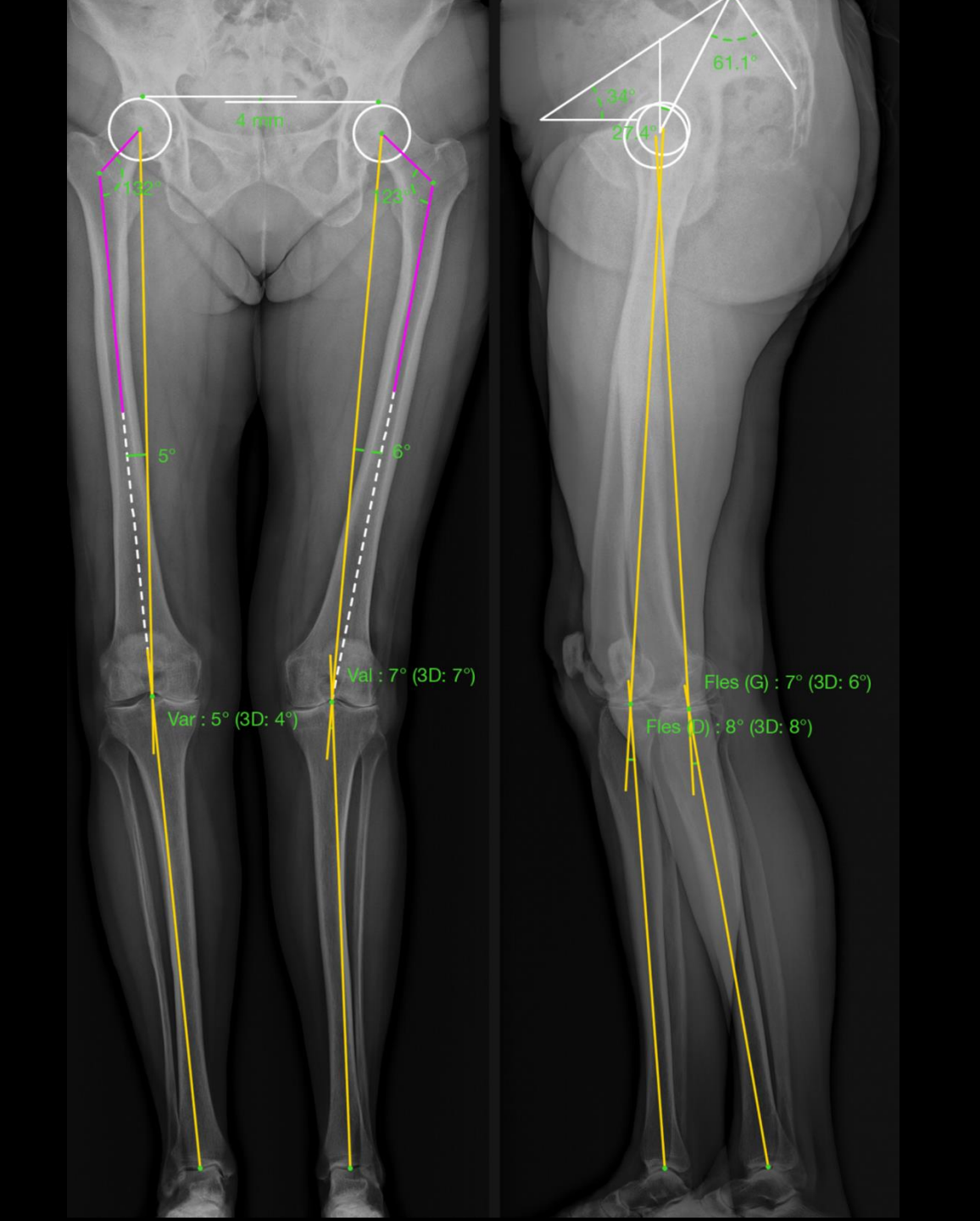
¹ Mac-Thiong et al. (Eur Spine J 2011) ² Legaye, Duval-Beaupère (Acta Orthop. Belg. 2005)

PRINCIPALES INDICATIONS

• Chez l'adolescent: scoliose et évolution temporelle (Cobb, Risser, rotation) avec irradiation faible et forte reproductibilité

 Chez l'adulte: équilibre sagittal rachidien et rapports spino-pelviens (bassin / hanches)

• A tous âges: morphologie et biométrie des membres inférieurs (inégalité de longueur, varus/valgus, troubles de torsion, bilans avant et après prothèses...)



Membres inférieurs

Mesures	Droite	Gauche
L fémur ^{2d}	439 mm	442 mm
L fémur ^{3d}	439 mm	443 mm
L tibia ^{2d}	370 mm	364 mm
L tibia ^{3d}	371 mm	369 mm
L totale ^{2d}	812 mm	808 mm
L totale ^{3d}	812 mm	812 mm

^{2d} Cette mesure a été calculée dans le plan 2D ; veuillez noter qu'elle peut faire l'objet d'une approximation. ^{3d} Cette mesure a été réalisée à l'aide d'une projection 3D.

Membres inférieurs

Mesures	Droite	Gauche		
Angle HKA ^{2d}	8° Flessum	7° Flessum		
Angle HKA ^{3d}	8°	6°	AA	PP

M. Cette mesure a été calculée dans le plan 2D ; veuillez noter qu'elle peut faire l'objet d'une approximation.
Cette mesure a été réalisée à l'aide d'une projection 3D.

Références

Valeurs de référence	Mesuré	Théorique								
Incidence pelvienne ¹	61.1°	-	21.0	31.5	42.0	52.5	63.0	73.5	84.0	
Version pelvienne ²	27.4° 15°	27 4°	27.4° 15°	Rétro	oversion				Antéve	ersion
version pervienne		13	20	12	5	0.0	-5	-12	-20	



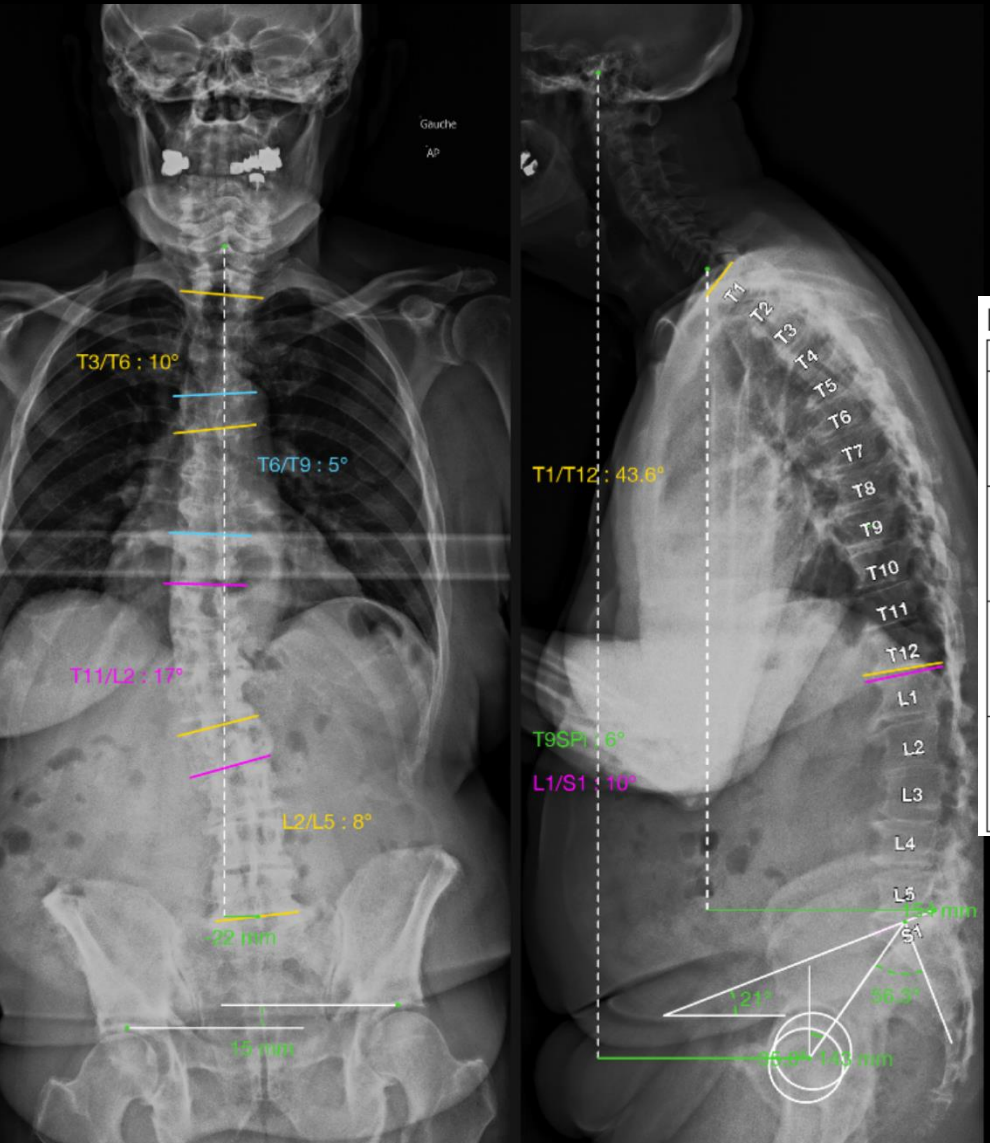
Co	ronal		Référence
	Angle de Cobb T3/T6 ^[5]	10°	< 10°
H A U T	Angle de Cobb T6/T9 [5]	5°	< 10°
	Angle de Cobb T11/L2 [5]	17°	< 10°
	Angle de Cobb L2/L5 ^[5]	8°	< 10°
	Balance coronale [1]	-22 mm	[-20 mm ; 20 mm]
B A S	Bascule pelvienne (toit de cotyle) ^[6]	15 mm	≤ 10 mm

Sagittal

HAUT	Cyphose T1/T12	43.6°	
	Lordose L1/S1	10°	
	Axe vertical sagittal	154 mm	
	Gîte T9	6°	
	Incidence pelvienne	56.3°	
В	Axe de gravité	143 mm	
A S	Pente sacrée	21°	
	Version pelvienne	35.0°	

Les valeurs mises en évidence en orange sont hors de la plage de référence prédéfinie.

MII VI IE



Références

Valeurs de référence	Mesuré	Théorique							
Incidence pelvienne ¹	56.3°	-	21.0	31.5	42.0	52.5	63.0	73.5	84.0
Axe vertical sagittal	154 mm	-	Postérieur au sacrum				Antérieur au sacrum		
			-135	-90	-45	0.0	45	90	135
Lordose L1/S1 ²	10°	69°	Hypolordose			Hyperlordose			
			-30	-20	-10	0.0	10	20	30
Version pelvienne ²	35.0°	13°	Rétroversion				Antéversion		
			20	12	5	0.0	-5	-12	-20



MERCI DE VOTRE ATTENTION

rdv@iris-imagerie.fr



Dr Thibaut JACQUES

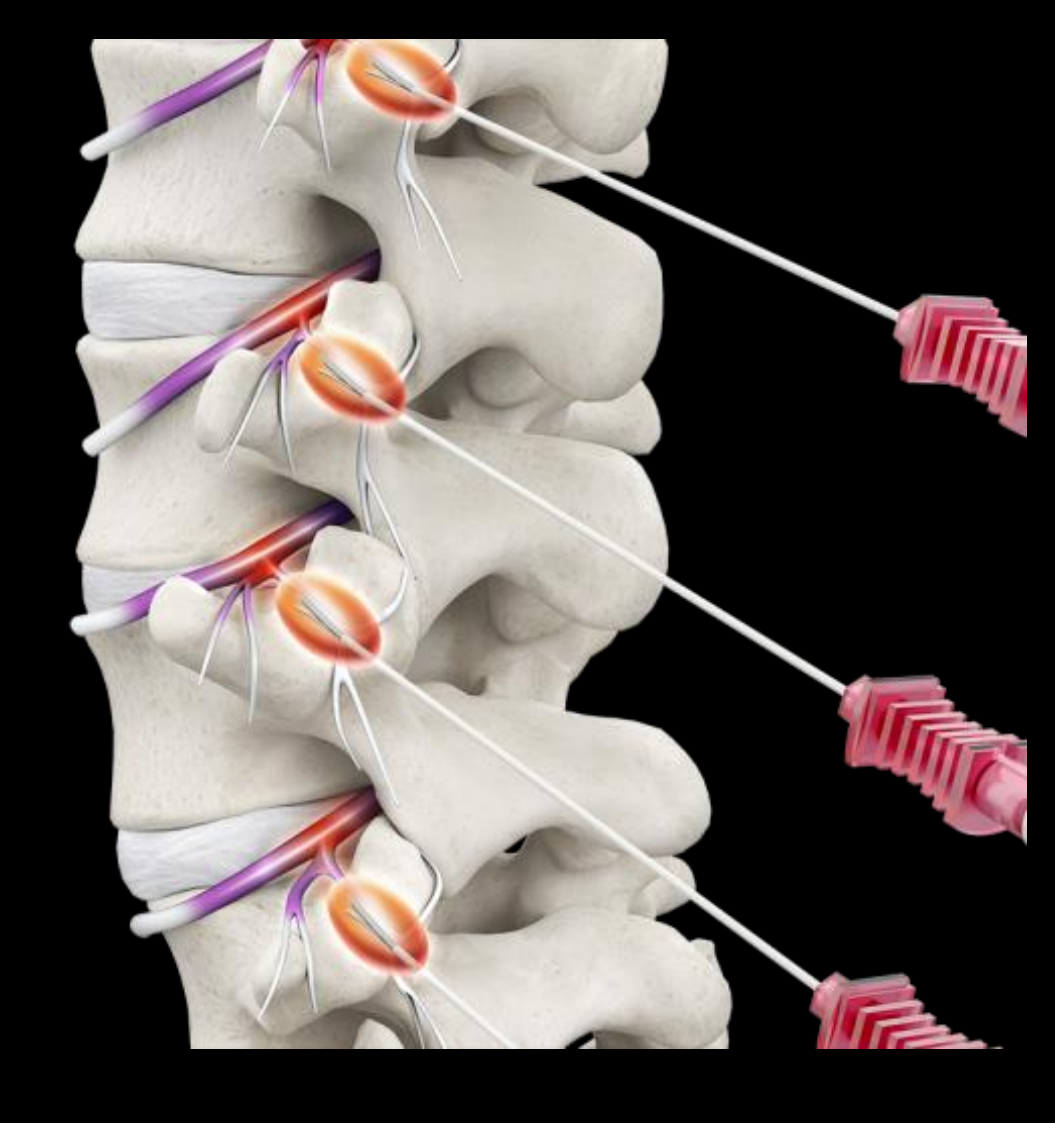
22 novembre 2025



! BREAKING NEWS!

La radiofréquence rachidienne est arrivée à Embolille!

Lombalgies mécaniques > 3 mois D'origine articulaire postérieure Résistantes au traitement médical Arthrose concordante en imagerie si diminution des douleurs > 75% après bloc test de branche médiale





thib.jacques@gmail.com embolille@iris-imagerie.fr

